



UNIVERSITÉ DE LILLE  
FACULTÉ DES SCIENCES ET TECHNOLOGIES  
DÉPARTEMENT DE MATHÉMATIQUES  
MASTER I MAS

## TRAVAIL ENCADRÉ DE RECHERCHE

Sujet :

La température annuelle moyenne  
au Maroc

Réalisé par :

- OUFASKA *Abdelmonssif*
- OUDGHIRI IDRISSE *Noura*

Encadré par :

- *Prof. DERMOUNE Azzouz*

Membres de Jury :

- *Prof. ....*
- *Prof. ....*
- *Prof. ....*

ANNÉE UNIVERSITAIRE : 2018/2019

# *Remerciement*

Au terme de ce travail, nous adressons nos remerciements les plus sincères à notre encadrant Monsieur DERMOUNE Azzouz pour sa disponibilité, son aide, ses conseils précieux, ses critiques constructives, ses explications et suggestions pertinentes ainsi que pour ses qualités humaines et morales que nous avons toujours appréciées.

---

# Table des matières

<b>Remerciement</b>	<b>1</b>
<b>Introduction</b>	<b>4</b>
<b>1 Analyse du Tableau des Températures moyennes annuelles</b>	<b>5</b>
1.1 Introduction . . . . .	5
1.2 Table de Données . . . . .	7
1.3 Statistiques . . . . .	8
1.4 Graphe des températures moyennes annuelles . . . . .	8
1.5 Boite à moustache . . . . .	8
1.6 QQ-plot . . . . .	9
1.7 Test de Shapiro-Wilk . . . . .	9
1.8 Régression linéaire . . . . .	10
<b>2 Interpolation et Prévision</b>	<b>12</b>
2.1 Introduction . . . . .	12
2.2 Motivation . . . . .	12
2.3 Modélisation stochastique . . . . .	13
2.3.1 Modèle centré . . . . .	13
2.3.2 Modèle avec Tendance . . . . .	15
2.4 Application : en utilisant le bruit gaussien fractionnaire . . . . .	16
2.4.1 Le bruit gaussien fractionnaire . . . . .	16
2.4.2 Applications à la prévision en utilisant les données de la température annuelle moyenne au Maroc : . . . . .	17
<b>Conclusion</b>	<b>24</b>
<b>Appendice</b>	<b>25</b>
2.4.3 mouvement brownien fractionnaire . . . . .	25

---

*TABLE DES MATIÈRES*

---

2.4.4	Processus gaussien stationnaire . . . . .	25
2.4.5	Transformée de Fourier (TF) . . . . .	25
2.4.6	Bruit gaussien fractionnaire . . . . .	26
	<b>Bibliographie</b>	<b>29</b>
	<b>Annexe</b>	<b>30</b>

---

# Introduction

Dans le cadre de notre projet de recherche durant le Master I ingénierie Statistique et Numérique, nous nous sommes intéressés à l'évolution de la température annuelle moyenne au Maroc entre 1900 et 2018. Étant donné que nous ne disposons que d'une table contenant les températures annuelles moyennes au Maroc entre 1900 et 2018, notre premier réflexe a été d'effectuer une statistique descriptive sur cette base de données à l'aide du langage R (moyennes, médianes, variances, boîtes à moustaches). Ensuite, nous nous sommes intéressés particulièrement à l'évolution de ces températures sur cette même période et nous avons essayé de voir si ces données suivent une loi usuelle, éventuellement une loi normale. Pour ceci, on va utiliser un QQ-plot et en suite on va appliquer le test de Shapiro-Wilk pour vérifier la normalité des données. Si c'est le cas, on effectuerait alors une régression linéaire, afin de déterminer les coefficients qui nous permettraient de prédire la température pour l'année suivante. Afin de prédire la température pour l'année suivante, nous appliquons la méthode d'interpolation à noyau, nous nous intéressons essentiellement à la matrice du bruit gaussien fractionnaire d'indice de Hurst qu'on va essayer de déterminer de façon à ce que la prévision calculée colle le plus possible avec la réalité...

---

---

# Chapitre 1

## Analyse du Tableau des Températures moyennes annuelles

### 1.1 Introduction

Dans ce chapitre, dans un premier temps on s'intéresse à l'analyse descriptive de nos données. A l'aide de la fonction *summary* du langage R, on obtient la moyenne des températures annuelles au Maroc, ainsi que la médiane, Min, Max...ceci nous donne une première idée sur cette moyenne, ensuite on fait un graphe afin de bien visualiser l'évolution de la température entre 1900 et 2018. La boîte à moustache nous permet également d'avoir une idée sur la valeur de la température autour de laquelle se concentrent les températures des cents dix-huit années.

Ensuite, étant donnée notre base de données, on s'est demandé, si elle suit une loi normale. Pour vérifier ceci; on utilise un *QQ - plot*, suivi d'un test de Shapiro-Wilk pour confirmer ou rejeter cette hypothèse.

Dans un second temps, on fait une régression linéaire, et on regarde le coefficient de détermination  $R^2$  afin de voir si éventuellement on pourrait compter sur ce modèle pour prédire la température de l'année suivante.

---



## 1.2 Table de Données

▲	Année ↕	Température ↕	▲	Année ↕	Température ↕
1	1901	17.26595	60	1960	16.29705
2	1902	16.46445	61	1961	17.47970
3	1903	16.89110	62	1962	17.24790
4	1904	17.15045	63	1963	16.26875
5	1905	17.17115	64	1964	16.14225
6	1906	16.59410	65	1965	15.99710
7	1907	16.09055	66	1966	16.42955
8	1908	16.80720	67	1967	15.88720
9	1909	17.02400	68	1968	16.73295
10	1910	15.99565	69	1969	15.79380
11	1911	16.25630	70	1970	16.44775
12	1912	15.76695	71	1971	14.54600
13	1913	16.35055	72	1972	15.90555
14	1914	16.30280	73	1973	16.42725
15	1915	15.23885	74	1974	14.92625
16	1916	16.12285	75	1975	15.62540
17	1917	15.29395	76	1976	15.03310
18	1918	14.65460	77	1977	17.55335
19	1919	15.68985	78	1978	16.16550
20	1920	16.69855	79	1979	16.06435
21	1921	16.47455	80	1980	16.86770
22	1922	16.73505	81	1981	17.13790
23	1923	16.94875	82	1982	17.03770
24	1924	16.83405	83	1983	17.24490
25	1925	15.87310	84	1984	16.57530
26	1926	17.37765	85	1985	16.64185
27	1927	17.31120	86	1986	15.69875
28	1928	16.24045	87	1987	18.02020
29	1929	16.86560	88	1988	17.08010
30	1930	17.35415	89	1989	16.88845
31	1931	16.92065	90	1990	16.52590
32	1932	15.94330	91	1991	15.65780
33	1933	17.92855	92	1992	16.38310
34	1934	16.69940	93	1993	16.09055
35	1935	16.89310	94	1994	16.84880
36	1936	16.57905	95	1995	17.79865
37	1937	18.09945	96	1996	17.16175
38	1938	16.97220	97	1997	18.04950
39	1939	16.29280	98	1998	17.16170
40	1940	17.12830	99	1999	18.12820
41	1941	16.82185	100	2000	16.24315
42	1942	17.90155	101	2001	18.58385
43	1943	17.45370	102	2002	17.31125
44	1944	17.53185	103	2003	17.39330
45	1945	19.43390	104	2004	16.53990
46	1946	16.37885	105	2005	18.64455
47	1947	17.17460	106	2006	19.15395
48	1948	16.76200	107	2007	17.03765
49	1949	18.02585	108	2008	17.54505
50	1950	16.88955	109	2009	18.51130
51	1951	16.09340	110	2010	18.23800
52	1952	17.06150	111	2011	18.61795
53	1953	17.00045	112	2012	17.30885
54	1954	17.09255	113	2013	17.99565
55	1955	17.28915	114	2014	19.20845
56	1956	16.33480	115	2015	18.90080
57	1957	15.54125	116	2016	19.10102
58	1958	16.80745	117	2017	18.12502
59	1959	17.10650	118	2018	17.80022



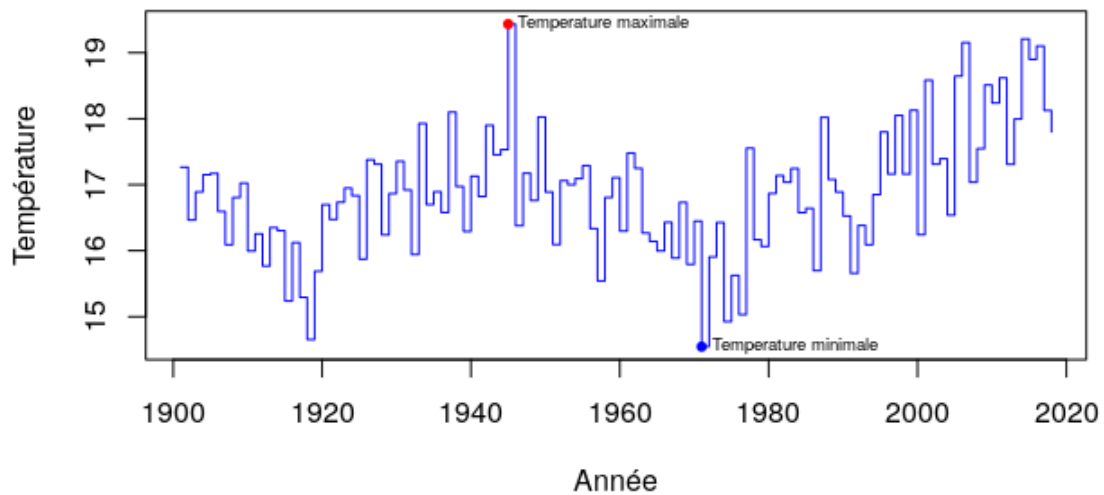
## 1.3 Statistiques

On effectue une analyse descriptive uni-variée pour les températures, on obtient les résultats suivants :

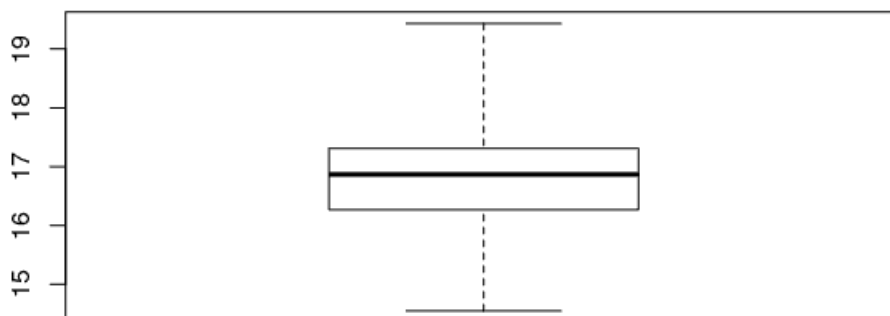
```
> View(Morocco)
> t=Morocco$Température
> summary(t)
  Min. 1st Qu.  Median    Mean 3rd Qu.    Max.
 14.55  16.27  16.87   16.88  17.31   19.43
> |
```

## 1.4 Graphe des températures moyennes annuelles

**Graphe des températures moyennes annuelles au maroc**

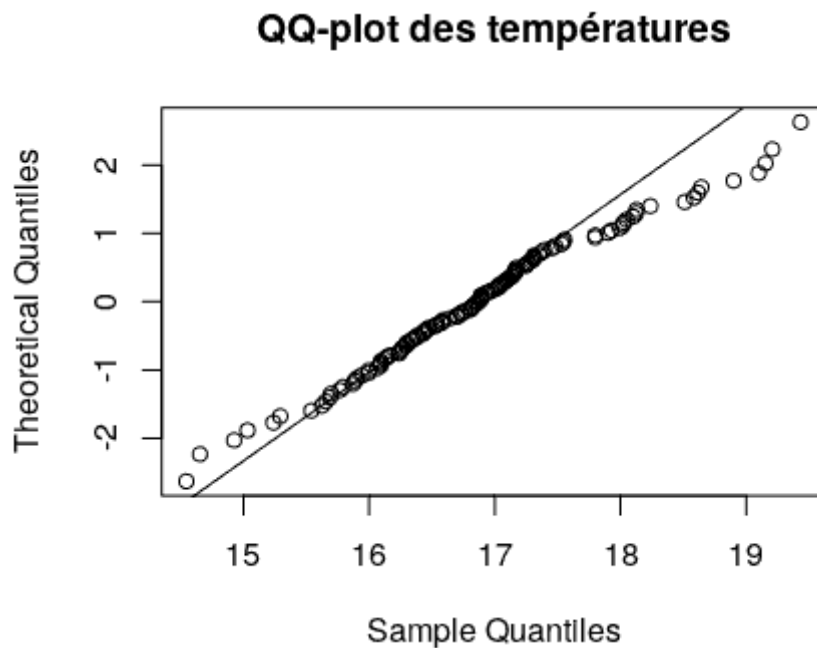


## 1.5 Boite à moustache



La boîte à moustaches nous aide à obtenir rapidement un aperçu des données. Ainsi, on peut voir directement que la médiane est égale à 16,8 et que 25% des données sont inférieurs à 16.3 degrés avec une valeur minimale de 14.5 degrés, et que également 25% des données sont supérieur à 17.31 degrés avec une valeur maximale de 19.43 degrés.

## 1.6 QQ-plot



On remarque que les points sont presque tous alignés sur la droite, ceci nous montre que nos données pourraient suivre une loi normale  $\mathcal{N}(\mu, \sigma^2)$ , pour vérifier cette hypothèse on va appliquer le test de Shapiro-Wilk.

## 1.7 Test de Shapiro-Wilk

Le test de Shapiro-Wilk est l'un des tests permettant de vérifier la normalité d'une variable  $X$ . Il utilise le rapport de deux estimations de la variance. Dans le cas d'une variable normale, ces deux estimations coïncident et le rapport est voisin de 1, alors que si la variable n'est pas normale le rapport est plus petit que 1.

```
> ##### Test de shapiro-Wilk #####  
> t=Morocco$Température  
> shapiro.test(t)
```

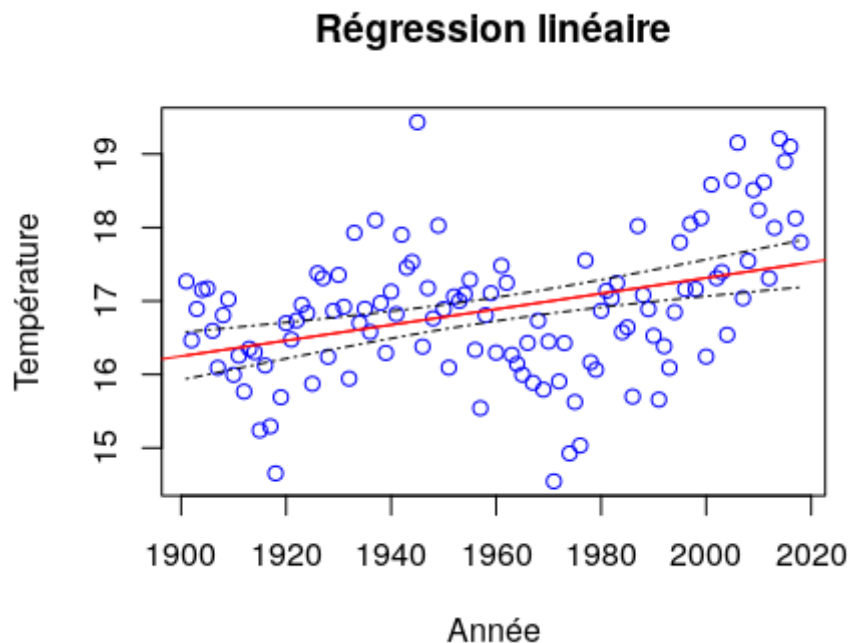
Shapiro-Wilk normality test

```
data: t  
W = 0.98357, p-value = 0.1603
```

Le test de Shapiro-Wilk donne une probabilité de dépassement de 0.1683, supérieure à 0.05, donc l'hypothèse de normalité est vérifiée.

## 1.8 Régression linéaire

La régression linéaire va nous permettre de calculer la tendance linéaire contenue dans la température annuelle moyenne. Elle permet également de représenter la température comme la somme d'une partie linéaire et d'un résidu i.e. sous la forme  $T_j = \beta_0 + \beta_1 j + e_j$ .



Résultats :

```
Residuals:
  Min       1Q   Median       3Q      Max
-2.45990 -0.58599  0.01351  0.54076  2.70515

Coefficients:
              Estimate Std. Error t value Pr(>|t|)
(Intercept) -4.004072   4.671512  -0.857   0.393
annee        0.010660   0.002384   4.472 1.82e-05
```

$$\beta_0 = -4.004072$$

$$\beta_1 = 0.010660$$

$$R^2 = 0.147$$

$$R^2_{ajust} = 0.1397$$

On remarque que le  $\beta_1 = 0,01 > 0$ , ce qui montre bien un échauffement dans les années qui suivent.

Cependant, on remarque que le coefficient de détermination  $R^2 = 0.14$  qui est proche de 0 et la droite de régression ne détermine dans ce cas que 14% de la distribution des points. Alors on ne peut pas compter sur cette méthode pour prédire la température moyenne annuelle au Maroc pour l'année 2019.

---

# Chapitre 2

## Interpolation et Prévision

### 2.1 Introduction

L'objet de cette partie est de présenter les techniques permettant de prédire la température moyenne annuelle au Maroc.

L'interpolation et la prédiction à partir d'une base de données interviennent dans diverses applications. L'interpolation à noyau (Kernel) et la prédiction gaussienne sont équivalentes mais elles ont des interprétations différentes. Les deux approches sont basées sur la connaissance du noyau ou de la matrice de covariance. Dans l'approche stochastique, la matrice de covariance et la tendance sont estimées en utilisant la méthode du maximum de vraisemblance ou la méthode Bayésienne. Dans notre TER nous allons utiliser les matrices de covariance des bruits gaussiens fractionnaires paramétrées avec un indice  $H \in ]0, 1[$ , qu'on appelle indice de Hurst.

### 2.2 Motivation

La formulation mathématique du problème est la suivante :  
Soit  $X$  un ensemble non vide,  $\{x_1, \dots, x_n, x_{n+1}\} \subset X$ . On se donne une fonction  $f : X \rightarrow \mathbb{R}$  avec  $f(x_1), \dots, f(x_n)$  connues. On se propose de prédire la valeur  $f(x_{n+1})$ .

Dans ce TER, on se propose de prédire la température moyenne annuelle au Maroc de l'année suivante en utilisant la modélisation stockastique.

---

## 2.3 Modélisation stochastique

### 2.3.1 Modèle centré

On pose  $y_i = f(x_i)$  pour  $i = 1, \dots, n + 1$ .

On suppose que  $(y_1, \dots, y_{n+1})$  est une réalisation d'un vecteur gaussien aléatoire centré  $(Y_1, Y_2, \dots, Y_{n+1})$  de matrice de covariance  $K = [k(i, j) : i, j = 1, \dots, n + 1]$  connue.

#### Théorème

$$\mathbb{E}[Y_{n+1}|Y_1, \dots, Y_n] = \sum_{i=1}^n w_i Y_i, \quad w_1, \dots, w_n \text{ sont uniques.}$$

On rappelle que l'espérance conditionnelle de  $Y_{n+1}$  sachant  $Y_1, Y_2, \dots, Y_n$  est :

$$\begin{aligned} \mathbb{E}[Y_{n+1}|Y_1, Y_2, \dots, Y_n] &= (k(n+1, 1), \dots, k(n+1, n)) [k(i, j) : i, j = 1, \dots, n]^{-1} \begin{pmatrix} Y_1 \\ Y_2 \\ \cdot \\ \cdot \\ Y_n \end{pmatrix} \\ &= (w_1, \dots, w_n) \begin{pmatrix} Y_1 \\ Y_2 \\ \cdot \\ \cdot \\ Y_n \end{pmatrix} \end{aligned}$$

#### Preuve :

$$\mathbb{E}[Y_{n+1}|Y_1, \dots, Y_n] = \sum_{i=1}^n w_i Y_i$$

$$Y_j \mathbb{E}[Y_{n+1}|Y_1, \dots, Y_n] = \sum_{i=1}^n w_i Y_j Y_i \quad \text{pour } j = 1, \dots, n$$

$$\mathbb{E}[Y_j \mathbb{E}[Y_{n+1}|Y_1, \dots, Y_n]] = \sum_{i=1}^n w_i \mathbb{E}[Y_j Y_i] \quad \text{pour } j = 1, \dots, n$$

Comme Les  $Y_i$  sont centrés, donc  $\mathbb{E}[Y_i] = 0 \quad \forall i \in \{1, \dots, n + 1\}$

$$\text{Alors } \mathbb{E}[Y_j Y_i] = \text{cov}(Y_j, Y_i) = K(i, j) \quad i, j = 1, \dots, n + 1$$

On a  $\mathbb{E}[Y_j \mathbb{E}[Y_{n+1} | Y_1, \dots, Y_n]] = \mathbb{E}[\mathbb{E}[Y_j Y_{n+1} | Y_1, \dots, Y_n]]$  pour  $\forall j = 1, \dots, n$

Selon la propriété suivante : Si  $Y$  est  $G$ -mesurable alors,  $Y \mathbb{E}[X | G] = \mathbb{E}[YX | G]$ .

$$\mathbb{E}[\mathbb{E}[Y_j Y_{n+1} | Y_1, \dots, Y_n]] = E[Y_j Y_{n+1}] = \sum_{i=1}^n w_i K(i, j) \quad \text{pour } \forall j=1, \dots, n$$

$$K(i, j) = \sum_{i=1}^n w_i K(i, j) \quad \text{pour } j = 1, \dots, n$$

$$(w_1, \dots, w_n) = (k(n+1, 1), \dots, k(n+1, n)) [k(i, j) : i, j = 1, \dots, n]^{-1}$$

Quelles sont les meilleurs constantes  $a_1, a_2, \dots, a_n$  qui minimisent l'erreur quadratique  
 $\min_{a_1, a_2, \dots, a_n} \mathbb{E}[|Y_{n+1} - \sum_{i=1}^n a_i Y_i|^2]$ , au sens  $L^2$  ?

$$\mathbb{E}[(Y_{n+1} - \sum_{i=1}^n a_i Y_i)^2] = \mathbb{E}[(Y_{n+1})^2 - 2Y_{n+1} \sum_{i=1}^n a_i Y_i + (\sum_{i=1}^n a_i Y_i)^2]$$

$$= \mathbb{E}[Y_{n+1}^2 - 2 \sum_{i=1}^n a_i Y_{n+1} Y_i + \sum_{i=1}^n \sum_{j=1}^n a_i a_j Y_i Y_j]$$

$$= \mathbb{E}[Y_{n+1}^2] - 2 \sum_{i=1}^n a_i \mathbb{E}[Y_{n+1} Y_i] + \sum_{i=1}^n \sum_{j=1}^n a_i a_j \mathbb{E}[Y_i Y_j]$$

$$= K(n+1, n+1) - 2 \sum_{i=1}^n a_i K(n+1, i) + \sum_{i=1}^n \sum_{j=1}^n a_i a_j K(i, j)$$

$$= K(n+1, n+1) - 2 \sum_{i=1}^n a_i K(n+1, i) + \sum_{i=1}^n a_i^2 k(i, i) + 2 \sum_{i=1}^n \sum_{j=1, j \neq i}^n a_i a_j K(i, j)$$

$$\frac{\partial \mathbb{E}[(Y_{n+1} - \sum_{i=1}^n a_i Y_i)^2]}{\partial a_i} = -2K(n+1, i) + 2a_i K(i, i) + 2 \sum_{j=1, i \neq j}^n a_j K(i, j), \quad i = 1, \dots, n$$

$$\frac{\partial \mathbb{E}[(Y_{n+1} - \sum_{i=1}^n a_i Y_i)^2]}{\partial a_i} = -2K(n+1, i) + 2 \sum_{j=1}^n a_j K(i, j), \quad i = 1, \dots, n$$

$$\frac{\partial \mathbb{E}[(Y_{n+1} - \sum_{i=1}^n a_i Y_i)^2]}{\partial a_i} = 0, \quad i = 1, \dots, n, \implies 2K(n+1, i) + 2 \sum_{j=1}^n a_j K(i, j) = 0, \quad i = 1, \dots, n,$$

$$\implies K(n+1, i) = \sum_{a_j}^n a_j K(i, j), \quad i = 1, \dots, n,$$

$$\implies (a_1, \dots, a_n) = (k(n+1, 1), \dots, k(n+1, n)) [k(i, j) : i, j = 1, \dots, n]^{-1} = (w_1, \dots, w_n)$$

Alors les poids  $w_1, w_2, \dots, w_n$  sont les meilleurs constantes qui minimisent l'erreur quadratique  $\min_{a_1, a_2, \dots, a_n} \mathbb{E}[|Y_{n+1} - \sum_{i=1}^n a_i Y_i|^2]$ , au sens  $L^2$ .

D'après ceci, on peut donner un meilleur estimateur pour  $Y_{n+1}$  défini par :

$$\hat{Y}_{n+1} = \sum_{i=1}^n \omega_i Y_i \quad (1)$$

### 2.3.2 Modèle avec Tendance

On suppose que  $\forall i \in \{1, \dots, n+1\}$ , la moyenne  $\mathbb{E}(Y_i) = \sum_{k=1}^p \beta_k f_k(i)$ , avec  $f_1, \dots, f_p$  sont des fonctions données et  $\beta_1, \dots, \beta_p$  sont des paramètres inconnus.

Nous cherchons la prévision  $\sum_{i=1}^n w_i Y_i$  de  $Y_{n+1}$  sans biais et qui minimise l'erreur quadratique  $\mathbb{E}[|Y_{n+1} - \sum_{i=1}^n a_i Y_i|^2]$ .

#### Définition

$\sum_{i=1}^n w_i Y_i$  est une approximation sans biais de  $Y_{n+1}$  si  $\mathbb{E}(\sum_{i=1}^n w_i Y_i) = \mathbb{E}(Y_{n+1})$ .

#### Proposition

Si la moyenne  $\mathbb{E}(Y_i) = \sum_{k=1}^p \beta_k f_k(i) \forall i \in 1, \dots, n+1$ , La contrainte sans biais est équivalent à dire que :

$$\sum_{i=1}^n w_i (\sum_{k=1}^p \beta_k f_k(i)) = \sum_{k=1}^p \beta_k f_k(n+1)$$

Cette égalité a lieu pour tous les paramètres  $\beta_1, \dots, \beta_p$ .

Finalement, nous obtenons les contraintes :

$$\sum_{i=1}^n w_i f_k(i) = f_k(n+1), \quad k = 1, \dots, p.$$

Le problème  $\inf_{a_1, \dots, a_n} \{\mathbb{E}[|Y_{n+1} - \sum_{i=1}^n a_i Y_i|^2]\}$  sous les contraintes  $\sum_{i=1}^n a_i f_k(i) = f_k(n+1)$ ,  $k = 1, \dots, p$ , est équivalent d'après notre cours d'optimisation au système linéaire (2) :

$$(2) \begin{cases} \sum_{i=1}^n a_i K(i, j) + \sum_{k=1}^p \lambda_k f_k(j) = K(n+1, j), & j = 1, \dots, n, \\ \sum_{i=1}^n a_i f_k(i) = f_k(n+1), & k = 1, \dots, p. \end{cases}$$

Avec  $\lambda_1, \dots, \lambda_n$  sont les multiplicateurs de Lagrange.

On résout le système et on note  $w_1, \dots, w_n, \lambda_1, \dots, \lambda_n$  sa solution. La prévision, est alors donnée par :  $\sum_{i=1}^n w_i y_i$ .



## 2.4 Application : en utilisant le bruit gaussien fractionnaire

### 2.4.1 Le bruit gaussien fractionnaire

**Définition :**

Un vecteur gaussien  $(X_1, \dots, X_{n+1})$  centré de matrice de covariance  $K_H$  est dit bruit gaussien fractionnaire d'indice de Hurst  $H$  si :

$$\text{cov}(X_i, X_j) = \frac{\sigma^2}{2} [|i-j+1|^{2H} - 2|i-j|^{2H} + |i-j-1|^{2H}] := \gamma(|i-j|), \quad i, j = 1, \dots, n+1$$

**NB :** Pour  $H = \frac{1}{2}$ ,  $K_H = \mathbf{I}_{n+1}$  matrice de covariance de bruit blanc.

Nous allons utiliser cette matrice dans tous les calculs qui suivent (regarder l'appendice pour savoir un peu plus sur son histoire).

Simulation du bruit gaussien fractionnaire :

**Théorème :**

Soit  $Z = (Z_1, \dots, Z_d)^\top$  un vecteur gaussien. On note  $m = \mathbb{E}(Z)$  et  $\Sigma = \text{Var}(Z)$ , on a pour toute matrice  $A$  possédant  $d$  colonnes et pour tout vecteur  $b \in \mathbb{R}^d$   
 $AZ + b \sim \mathcal{N}(Am + b, A\Sigma A^\top)$ .

**Théorème :**

Soit  $Z = (Z_1, \dots, Z_{n+1})^\top$  un vecteur gaussien centré réduit et  $K$  une matrice de covariance. Soit  $K = LL^\top$  la décomposition de Cholesky de  $K$ .  
 Alors  $LZ \sim \mathcal{N}(0, K)$

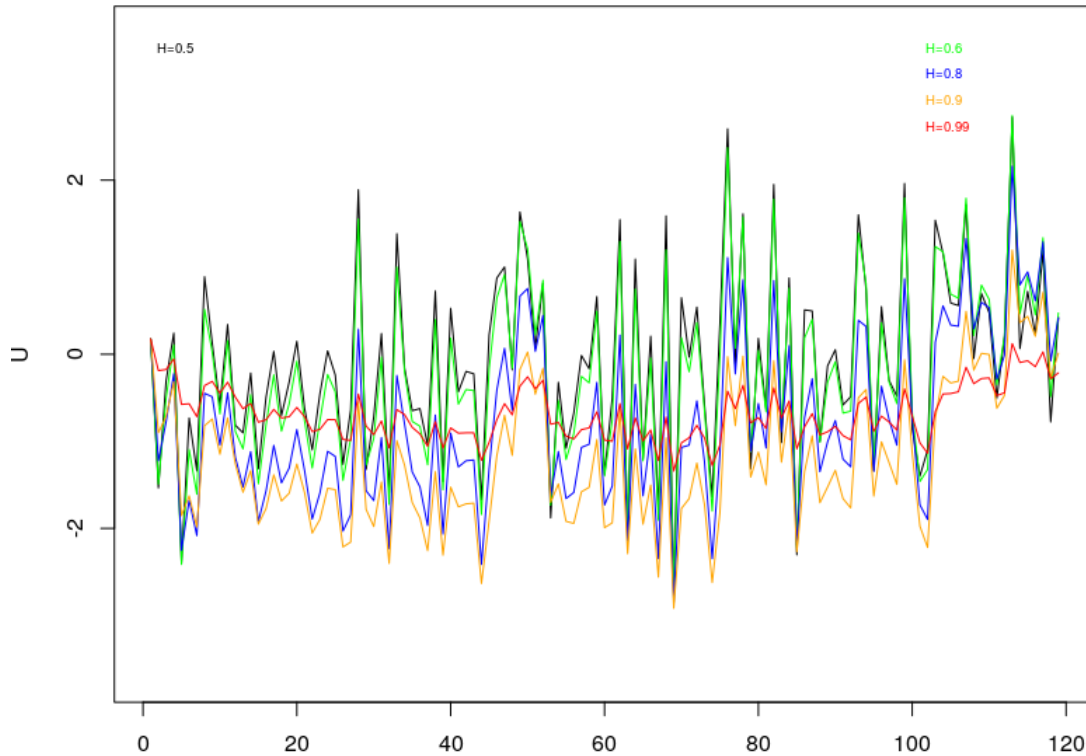
Soit  $(z_1, \dots, z_{n+1})^\top$  une réalisation de vecteur gaussien centré réduit  $Z = (Z_1, \dots, Z_{n+1})^\top$ .  
 Et soit  $K_H$  la matrice de covariance  $(n+1) \times (n+1)$  de bruit gaussien fractionnaire définie par :

$$K_H(i, j) = \frac{1}{2} (|i-j+1|^{2H} - 2|i-j|^{2H} + |i-j-1|^{2H}), \quad i, j = 1, \dots, n+1.$$

On effectue une décomposition de Cholesky à la matrice  $K_H$ , i.e.,  $K_H = LL^\top$  avec  $L$  une matrice triangulaire inférieure, on a alors  $LZ \sim \mathcal{N}(0, LL_dL^\top) \Rightarrow LZ \sim \mathcal{N}(0, K_H)$

$(z_1^*, \dots, z_{n+1}^*) = L(z_1, \dots, z_{n+1})$  est une réalisation de vecteur bruit gaussien fractionnaire.

**Simulation de bruit gaussien fractionnaire en fonction de H**



### 2.4.2 Applications à la prévision en utilisant les données de la température annuelle moyenne au Maroc :

En ayant les températures moyennes annuelles de n années ;  $t_1, \dots, t_n$ , la corrélation entre  $t_i$  et  $t_j$  est donnée par la composante  $(i, j)$  de la matrice de covariance du bruit gaussien fractionnaire  $\mathbf{K}_H$ .

En appliquant le résultat (1) on obtient :

$$\hat{t}_{n+1} = \sum_{i=1}^n \omega_i t_i$$

où  $(\omega_1, \dots, \omega_n)$  est la solution du système suivant :

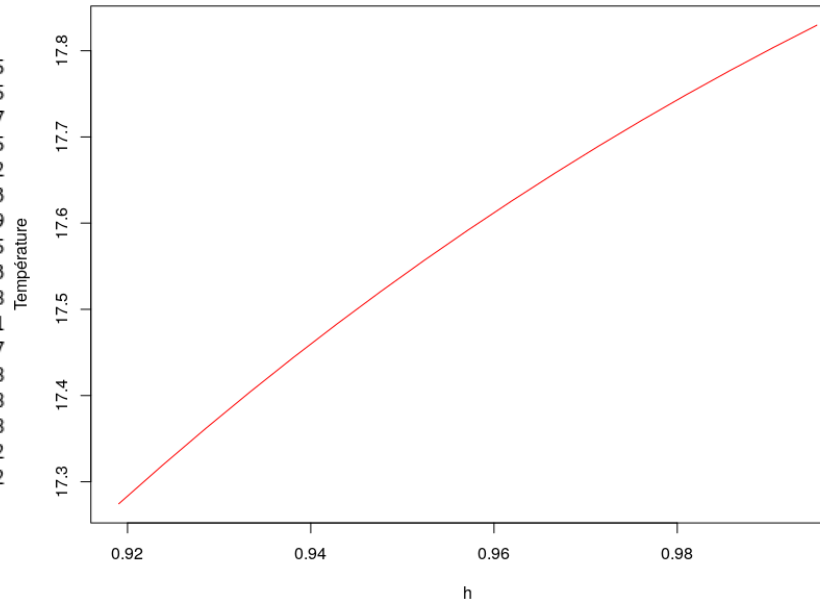
$$[k_H(i, j) : i, j = 1, \dots, n] \begin{pmatrix} \omega_1 \\ \omega_2 \\ \cdot \\ \cdot \\ \omega_n \end{pmatrix} = \begin{pmatrix} K_H(n+1, 1) \\ K_H(n+1, 2) \\ \cdot \\ \cdot \\ K_H(n+1, n) \end{pmatrix}$$

Application Numérique :

En résolvant le système au dessus avec le logiciel *R*, on a pu déterminer les poids  $\omega_i$   $i = 1, \dots, n$  et prédire  $\hat{t}_{n+1}$  pour différentes valeurs de  $h$  proches de 1. Alors on a trouvé les résultats suivants :

Pour h= 0.9190476	Température = 17.27445
Pour h= 0.9238095	Température = 17.31905
Pour h= 0.9285714	Température = 17.36217
Pour h= 0.9333333	Température = 17.40385
Pour h= 0.9380952	Température = 17.44412
Pour h= 0.9428571	Température = 17.48303
Pour h= 0.947619	Température = 17.52059
Pour h= 0.952381	Température = 17.55685
Pour h= 0.9571429	Température = 17.59183
Pour h= 0.9619048	Température = 17.62558
Pour h= 0.9666667	Température = 17.65811
Pour h= 0.9714286	Température = 17.68947
Pour h= 0.9761905	Température = 17.71968
Pour h= 0.9809524	Température = 17.74878
Pour h= 0.9857143	Température = 17.77678
Pour h= 0.9904762	Température = 17.80372
Pour h= 0.9952381	Température = 17.82962

Evolution de la température par rapport à la valeur de h



Pour h= 0.7375	Température = 14.0108
Pour h= 0.75	Température = 14.3652
Pour h= 0.7625	Température = 14.69532
Pour h= 0.775	Température = 15.0026
Pour h= 0.7875	Température = 15.28838
Pour h= 0.8	Température = 15.55391
Pour h= 0.8125	Température = 15.80041
Pour h= 0.825	Température = 16.02899
Pour h= 0.8375	Température = 16.24074
Pour h= 0.85	Température = 16.43667
Pour h= 0.8625	Température = 16.61773
Pour h= 0.86875	Température = 16.70296
Pour h= 0.875	Température = 16.78482
Pour h= 0.88125	Température = 16.8634
Pour h= 0.8875	Température = 16.9388
Pour h= 0.925	Température = 17.32997
Pour h= 0.9375	Température = 17.43917

Pour :

$H_1 = 0.8375$  (premier quartile) on a la prévision :

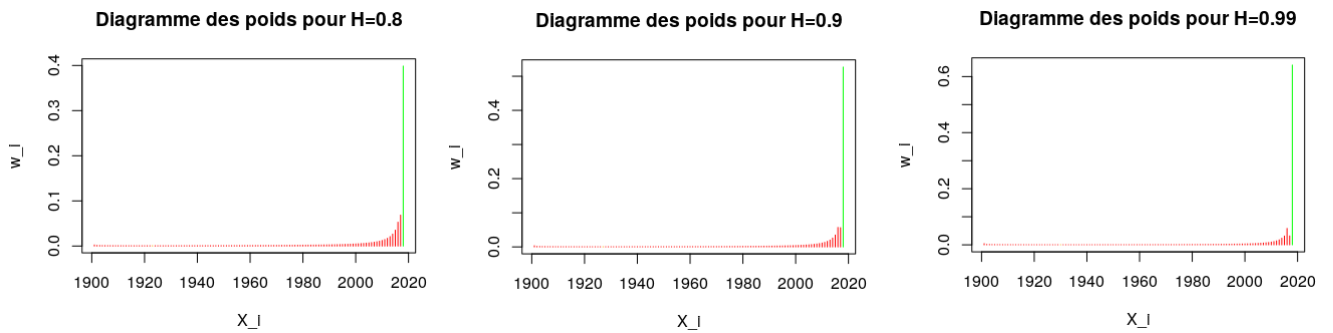
$$Q_1 \simeq 16.24074$$

$H_2 = 0.88125$  (la médiane) on a la prévision :  $M \simeq 16.8634$

$H_3 = 0.925$  (troisième quartile) on a la prévision :

$$Q_3 \simeq 17.32997$$

Diagramme des poids :

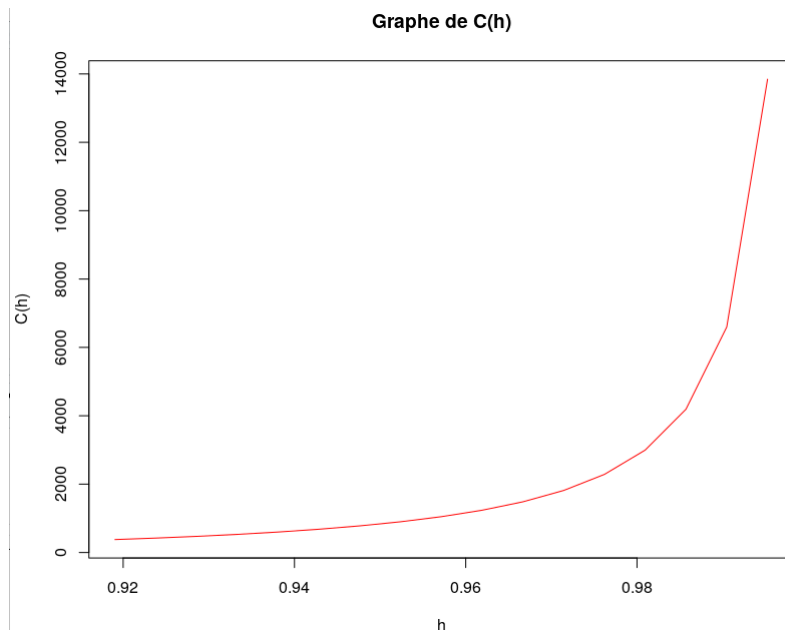


À partir des diagrammes des poids entre 1900 et 2018 pour les trois différentes valeurs de  $H$  ( $H=0.8$  et  $H=0.9$  et  $H=0.99$ ), on peut remarquer que les poids associés aux années 1900 à 2000 diminuent lorsque  $H$  devient plus grand et ils deviennent presque égaux à zéro. Par contre le poids associé à l'année 2018 devient beaucoup plus important lorsque l'indice  $H$  augmente.

On peut en déduire que avec cette méthode et lorsque  $H$  est proche de 1, la prévision de la température  $t_{n+1}$  est surtout basée sur les températures moyennes annuelles des quelques dernières années passées et non sur la totalité.

On va étudier le cas où  $H$  est très proche de 1 :

Soit  $C(H)$  le conditionnement de la matrice de covariance  $\mathbf{K}_H$  défini par :  $C(H) = \frac{\lambda_{max}^H}{\lambda_{min}^H}$  avec  $\lambda_{max}^H$ ,  $\lambda_{min}^H$  la plus grande et la plus petite valeur propre de  $\mathbf{K}_H$ .



Problème : On remarque ici que lorsque l'indice  $H$  devient proche de 1 la matrice devient de plus en plus **mal conditionnée**, plus précisément la matrice  $K_H$  converge vers la matrice  $A$  telle que  $A(i, j) = 1 \forall i, j \in \{1, \dots, n\}$  quand  $H$  tend vers 1 .

C'est pour cette raison, on va appliquer le système (2) sous contraintes :

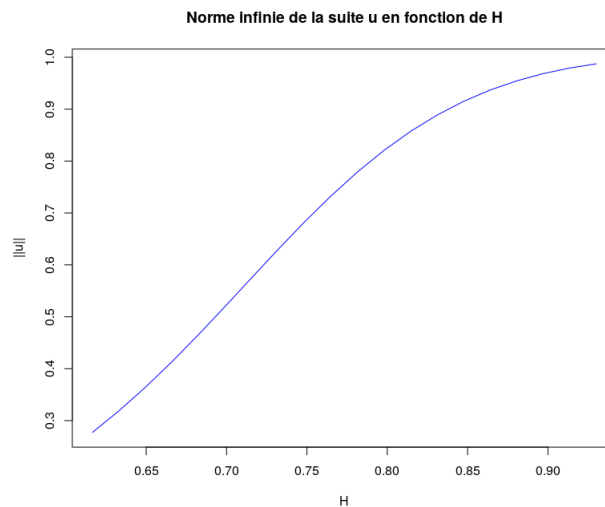
On note par  $K_H(\cdot, j)$  la  $j^{\text{ème}}$  colonne de  $K_H$ .

Soit  $(u_j)_{j \in \mathbb{N}}$  la suite définie par  $u_j = \frac{\sum_{i=1}^{n+1} K_H(i, j)}{\sqrt{n+1} \sqrt{\sum_{i=1}^{n+1} |K_H(i, j)|^2}}$ ,  $j = 1, \dots, n+1$ .

On rappelle que le terme  $u_j$  de la suite correspond au cosinus de l'angle entre la  $j^{\text{ème}}$  colonne de  $K_H$  et le vecteur  $1_{n+1}$ .

**Remarque :**

Quand  $H$  est proche de 1 les termes de la suite  $(u_j)_{j \in \mathbb{N}}$  s'approchent de 1 aussi.



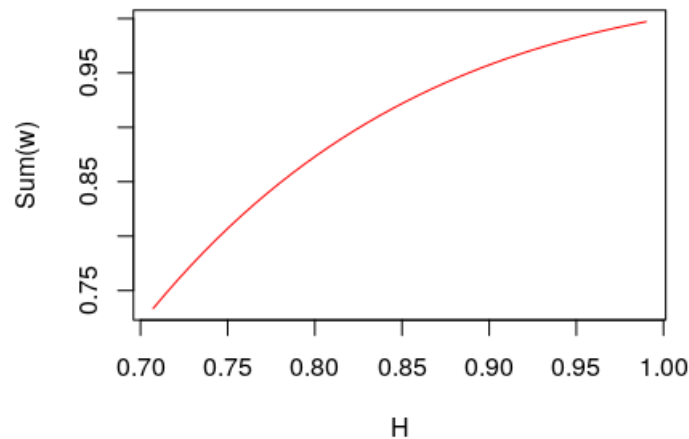
Ce résultat est compatible avec le résultat précédent et montre que les colonnes de  $K_H$  tendent vers le vecteur  $1_{n+1}$  quand  $H$  tend vers 1.

Remarque :

$$\text{Si } \begin{pmatrix} y_1 \\ \vdots \\ y_{n+1} \end{pmatrix} \in \text{ev}(K(., 1), \dots, K(., n)) \text{ alors } y_{n+1} = \sum_{i=1}^n w_i y_i$$

Alors les  $w_i$  estiment sans erreur les  $n$ -ièmes premières composantes de  $y$ .

**La somme des poids en fonction de H**



On ordonne la suite  $(u_j)_{j \in \mathbb{N}}$  dans l'ordre décroissant, cela signifie qu'on range dans l'ordre décroissant les cosinus entre chaque vecteur colonnes de la matrice  $K_H$  et le vecteur  $1_{n+1}$ , (i.e, on range dans l'ordre décroissant les vecteurs qui s'approchent le plus possible du vecteur  $1_{n+1}$ ), afin de déterminer les fonctions  $f_k$  qui satisfont les contraintes du système (2) ( $\sum_{i=1}^n w_i f_k(i) = f_k(n+1)$ ,  $k = 1, \dots, n$ .)

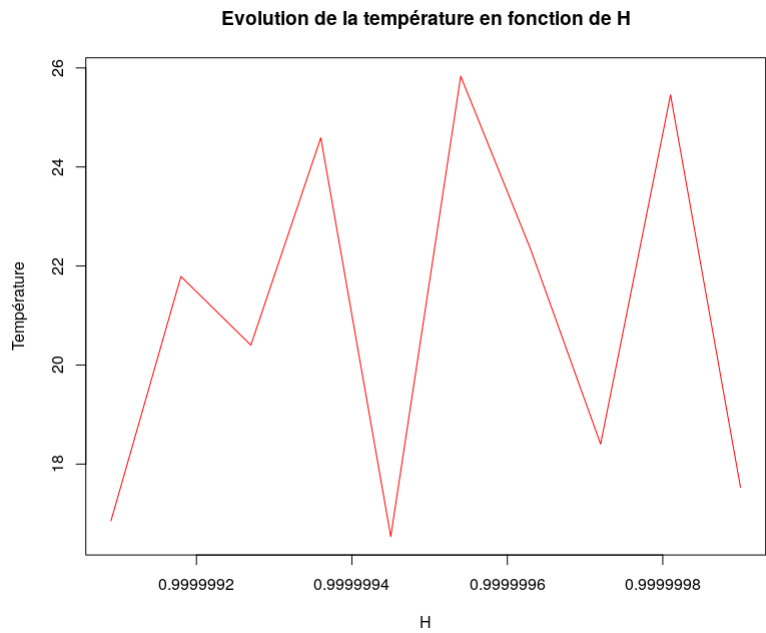
On a  $u_{\sigma(1)} > \dots > u_{\sigma(n+1)}$  avec  $\sigma$  une permutation de  $\{1, \dots, n+1\}$  dans  $\{1, \dots, n+1\}$ . D'après la remarque précédente on peut poser  $f_k = u_{\sigma(k)}$ , Alors la moyenne  $\mathbb{E}(Y_i) = \sum_{k=1}^n \beta_k u_{\sigma(k)}(i)$   $i = 1, \dots, n+1$ .

On propose le système sous contraintes suivant :

$$\begin{cases} \sum_{i=1}^n w_i + \sum_{i=1}^n \lambda_i K_H(i, \sigma(l)) = 1, & l = 1, \dots, n, \\ \sum_{i=1}^n w_i K_H(i, \sigma(l)) = k_H(n+1, \sigma(l)), & l = 1, \dots, n. \end{cases}$$

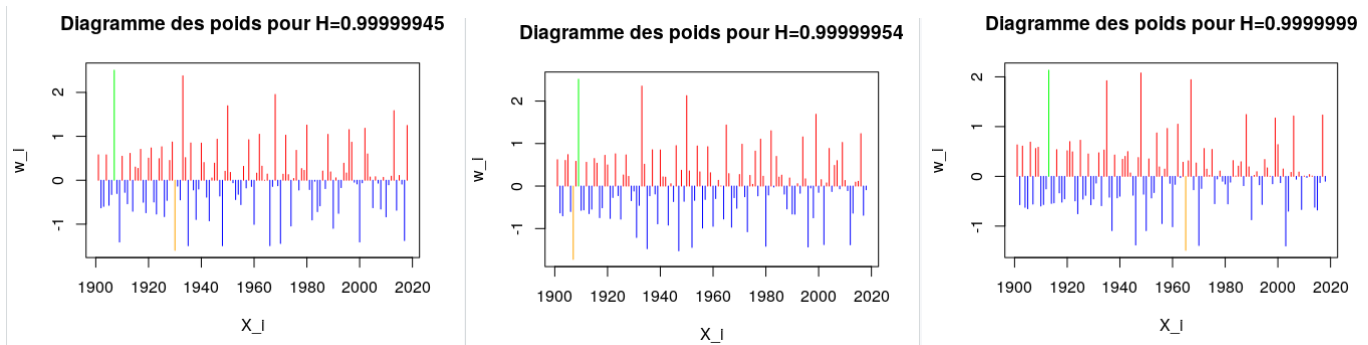
Résultats Numérique :

Pour H= 0.9999991	Temperature = 16.85411
Pour H= 0.9999992	Temperature = 21.78776
Pour H= 0.9999993	Temperature = 20.40221
Pour H= 0.9999994	Temperature = 24.58988
Pour H= 0.99999945	Temperature = 16.53675
Pour H= 0.99999954	Temperature = 25.83237
Pour H= 0.9999996	Temperature = 22.33339
Pour H= 0.9999997	Temperature = 18.4044
Pour H= 0.9999998	Temperature = 25.45494
Pour H= 0.9999999	Temperature = 17.53225



Les prévisions que nous venons d'obtenir pour les différentes valeurs de H très très proche de 1, restent bonnes étant donné que la médiane est de l'ordre de 16.8 degrés, même si il existe certaines qui ont dépassé la valeur de température annuelle moyenne maximale au Maroc (19.43 degrés) enregistrée jusqu'à maintenant (en 1945).

Diagramme des poids :



Les diagrammes ci-dessus représentent les poids associés aux années 1900 à 2018 pour trois valeurs de H très très proche de 1. On obtient alors des poids positifs (en rouge) ces derniers augmentent la température, et des poids négatifs (en bleu) qui la font baisser.

On remarque que cette méthode sous contraintes (pour H très proche de 1) nous donne des poids qui ne sont pas nuls, ce qui veut dire que la prévision de la température annuelle moyenne pour l'année 2019 au Maroc est ainsi basée sur toutes les températures annuelles moyennes observées au Maroc entre 1900 et 2018 contrairement à la méthode vue

#### *2.4. APPLICATION : EN UTILISANT LE BRUIT GAUSSIEN FRACTIONNAIRE*

---

précédemment qui se base uniquement sur les observations enregistrées durant les quelques dernières années passées.



---

# Conclusion

Dans ce Travail Encadré de Recherche, nous nous sommes intéressés à la prévision de la température annuelle moyenne au Maroc pour l'année 2019. Nous ne disposions que d'une table contenant les températures annuelles moyennes de ce pays entre 1900 et 2018, alors tout naturellement on a commencé par faire une analyse descriptive (boîte à moustache, graphes...), voir également si ces températures pourraient suivre une loi usuelle (éventuellement la loi normale), alors nous avons fait un QQ-plot ainsi qu'un test de Shapiro-Wilk qui tous les deux nous ont confirmé la normalité de ces températures. Une fois la normalité vérifiée, nous avons effectué une régression linéaire afin de voir si l'on pouvait prévoir avec cette méthode la température annuelle moyenne au Maroc pour l'année en 2019, ce qui a été vite abandonné étant donnée que le coefficient de détermination  $R^2$  était proche de 0 et ne nous pouvions donc compter sur ce modèle pour faire cette prévision.

Nous nous sommes alors retournés vers une idée très simple qui est "l'espérance conditionnelle", car nous étions sûrs qu'elle allait nous donner une très bonne prévision qui est en plus compatible avec la réalité. Cependant pour appliquer ceci, nous avons été contraints d'avoir une matrice de variance-covariance. Raison pour laquelle on a eu recours à la matrice du bruit gaussien fractionnaire, qui nous a donné de bonnes prévisions comme elles correspondaient bien aux températures entre la moyenne et le premier et troisième quartile.

Soucieux d'avoir une prévision encore mieux, nous nous sommes intéressés à une prévision sans biais, ce qui nous a imposé des contraintes. Pour trouver les bonnes contraintes, nous avons donc dû en essayer plusieurs mais ne trouvant pas de bonnes prévisions, nous avons pensé qu'en analysant d'une manière détaillée cette matrice de variance-covariance on pourrait avoir une idée sur les contraintes à imposer à notre système, et effectivement on a trouvé des conditions qui nous ont permis une fois ajoutées à notre système d'avoir de très bonnes prévisions pour cette température recherchée.

---

---

# Appendice

## 2.4.3 mouvement brownien fractionnaire

Soit  $B_H$  un mouvement brownien fractionnaire de paramètre de **Hurst**  $H$  ( $H \in ]0, 1[$ ), défini par :

- $B_H(0) = 0$  p.s
- $B_H(k) = \sum_{j=0}^{k-1} (B_H(j+1) - B_H(j))$  pour  $k \geq 1$

Le bruit gaussien fractionnaire est défini par :

$$X_j = B_H(j+1) - B_H(j), \text{ pour tout } j \in \mathbb{Z}$$

## 2.4.4 Processus gaussien stationnaire

Le processus centré  $(X_i)$  est stationnaire si :

$$\text{cov}(X_i, X_j) = \gamma(|i - j|), \quad \forall i, j \in \mathbb{Z}$$

Le processus gaussien stationnaire centré dont la fonction de covariance  $\gamma(i-j) = 0, \quad i \neq j$  est appelé le bruit blanc gaussien.

Remarque :

Si le processus  $(X_i)$  est stationnaire, alors  $X_i$  a la même loi que  $X_1$ , mais  $X_i$  et  $X_1$  sont corrélés. Leur coefficient de corrélation est  $\rho(X_i, X_1) = \frac{\gamma(|i-1|)}{\gamma(0)}$ .

## 2.4.5 Transformée de Fourier (TF)

La suite  $(\gamma(k) : k \in \mathbb{Z})$  définit la fonction périodique

$$S(f) = \sum_{k \in \mathbb{Z}} \gamma(k) \exp(i2kf\pi) = \gamma(0) + 2 \sum_{k=1}^{+\infty} \gamma(k) \cos(2kf\pi) \geq 0, \quad f \in [0, 1],$$

appelée la transformé de Fourier de  $\gamma$ . Sachant  $S$ , on peut retrouver  $\gamma$  par

$$\int_0^1 S(f) \exp(-2fni\pi) df = \gamma(n), \quad n \geq 0.$$

Certains auteurs utilisent la TF

$$S(\omega) = \frac{1}{2\pi} \sum_{k \in \mathbb{Z}} \gamma(k) \exp(ik\omega), \quad \omega \in (-\pi, \pi),$$

et alors

---

$$\gamma(n) = \int_{-\pi}^{\pi} S(\omega) \exp(in\omega) d\omega, \quad n \geq 0.$$

La TF du bruit blanc gaussien est constante  
 $S(f) = S(0) = \gamma(0) = \text{var}(X_1), \quad S(\omega) = S(0) = \frac{\text{var}(X_1)}{2\pi}$

La TF du  $\frac{S(f)}{S(0)}$  est uniforme sur  $[0, 1]$ , et la TF du  $\frac{S(\omega)}{S(0)}$  est uniforme sur  $(-\pi, \pi)$ .

## 2.4.6 Bruit gaussien fractionnaire

### Introduction :

Le mouvement brownien fractionnaire (fBm) de paramètre de **Hurst**  $H$  tel que  $0 < H < 1$  est un modèle non stationnaire de signaux fractales stochastiques. Les incréments de ce processus, nommés bruits gaussiens fractionnaires (fGn) (On appelle bruit toute variation imprévisible d'une quantité dans le temps), sont stationnaires. Ces deux modèles ont tout d'abord été utilisés pour modéliser des signaux issus de phénomènes physiques tels que des bruits en  $1/f$ , des séries économiques, et plus récemment des données de trafic Ethernet. En deux dimensions, le paramètre  $H$  permet de quantifier la notion intuitive de rugosité d'une image. Il est alors employé pour caractériser des textures ou pour analyser des surfaces. Lors de l'application du modèle fBm à un cas concret, il convient dans un premier temps de se soucier du caractère fractale des signaux expérimentaux (signaux discrets de longueur finie). Des méthodes ont déjà été proposées pour s'assurer de l'adéquation entre le modèle fBm et des signaux réels. Dans un deuxième temps, il est nécessaire d'estimer aussi précisément que possible le paramètre  $H$ . Il existe de nombreuses méthodes qui permettent de réaliser cette tâche et il est difficile d'en choisir une a priori. Théoriquement, même si des résultats d'efficacité asymptotique sont démontrés pour certains estimateurs, rien ne permet de connaître leur comportement dans toutes les circonstances (signaux de longueur réduite, sensibilité au bruit...). Il est donc nécessaire de mener des études expérimentales pour mieux cerner les potentialités des estimateurs. Ces études reviennent à tester ces diverses méthodes sur des signaux fBm de synthèse. Dans la première référence, une analyse croisée synthèse-analyse n'a pas permis de tirer de conclusions définitives. En effet, certaines méthodes de synthèse ne sont qu'approximatives et peuvent interférer avec l'analyse. Dans la deuxième étude, seuls quelques estimateurs ont été évalués uniquement pour  $H > 0.5$ . Pour mener une étude générale, il faut au préalable disposer d'une méthode de synthèse générant de vrais signaux fBm. La synthèse par décomposition de Cholesky de la matrice de covariance des incréments du fBm est théoriquement exacte. En effet, les statistiques d'ordre 2 des incréments de tels signaux sont celles des incréments gaussiens du fBm. L'appréciation de la qualité d'un estimateur revient à comparer la valeur

du paramètre  $H$  mesurée sur ces signaux à celle injectée lors de la synthèse.

---

Hurst (1965) a proposé une méthode appelée analyse des étendues normalisées, ou Rescaled Range Analysis (R/S Analysis). Notons que l'objectif initial de l'auteur était de modéliser la série temporelle de la hauteur des crues du Nil, de l'antiquité à nos jours. Selon cette méthode, une série chaotique peut être caractérisée par un exposant (noté  $H$ ), qui représente la probabilité pour qu'un événement soit suivi par un événement similaire. C'est donc les aspects de persistance qui sont principalement visés par cette analyse. Le mode de calcul de l'exposant de Hurst n'est pas encore fixé, et certaines différences peuvent apparaître en fonction des détails des algorithmes utilisés. Nous exposons ici la méthode originale de l'auteur.

**Propriété :**

Soit  $(X_j)_{j \in \mathbb{Z}}$  est un processus gaussien centré stationnaire de covariance :  
 $cov(X_i, X_j) = \frac{\sigma^2}{2} [|i - j + 1|^{2H} - 2|i - j|^{2H} + |i - j - 1|^{2H}] := \gamma(|i - j|)$ ,  $i, j \in \mathbb{Z}$

- 1) La fonction  $x \in (0, +\infty) \rightarrow |x|^\alpha$  est convexe lorsque  $\alpha \geq 1$  ou bien  $\alpha < 0$ . Elle est concave lorsque  $\alpha \in (0, 1)$ .
- 2) Si  $2H \geq 1$ , alors  $\gamma(k) > 0$ ,  $k \geq 1$ . De plus la suite  $k \rightarrow \gamma(k)$  est décroissante, convexe et  $\gamma(k) \sim H(2H - 1)k^{2H-2}\sigma^2$  lorsque  $k \rightarrow +\infty$ .
- 3) Si  $0 < 2H < 1$ , alors  $\gamma(k) < 0$ ,  $k \geq 1$ . De plus  $\gamma(k) \sim H(2H - 1)k^{2H-2}\sigma^2$  lorsque  $k \rightarrow +\infty$ .

**Corollaire :**

La transformée de Fourier du bruit fractionnaire vérifie  
 $S(f) \sim f^{-\alpha}$  lorsque  $f \rightarrow 0$ , où  $\alpha = 1 - (2 - 2H) = 2H - 1$ .  
 On dit que le processus suit la loi  $f^{-\alpha}$ . Lorsque  $H = 1$  on obtient  $\alpha = 1$  et donc le processus suit la loi  $1/f$ .

**Théorème de probabilité (cours du M1 Mas)**

Soit  $(y_1, \dots, y_{n+1})$  une réalisation d'un vecteur aléatoire gaussien  $(Y_1, Y_2, \dots, Y_{n+1})$  alors l'espérance conditionnelle de  $Y_{n+1}$  sachant  $Y_1, Y_2, \dots, Y_n$  est égale à :

$$\mathbb{E}[Y_{n+1} | Y_1, Y_2, \dots, Y_n] = \sum_{i=1}^n w_i y_i$$

---

# Bibliographie

A. Dermoune, Cours processus stochastique M2, 2018.

H.E. Hurst. Long-term storage capacity of reservoirs. Transactions of the American Society of Civil Engineers, 116 :770–799, 1951.

B . Mandelbrot and J. Van Ness. Fractional brownian motion, fractional noises and application. SIAM Review, 10 :422–437, 1968.

---

---

# Annexe

```
1 Morocco <- read_excel("Morocco.xlsx")
2 #####Graphe des Temp ratures #####
3 plot(Morocco$Annee, Morocco$Temperature, type="s", col="blue", xlab="Annee", ylab="
  Temperature"
4       ,main="Graphe des temperatures moyennes annuelles au maroc")
5 t=Morocco$Temperature
6 annee=Morocco$Ann e
7 points(1971,14.546, col="blue", pch=20)
8 points(1945,19.4339, col="red", pch=20)
9 text(c(1970,1944), c(14.54,19.43), c("Temperature minimale", "Temperature maximale"), cex
  = 0.6, pos = 4)
10 ##### Boite mustaches#####
11 boxplot(t, range=0, sub="Une pr sentation sous forme boite moustaches")
12 summary(t)
13
14 ##### QQ-plot #####
15 qqnorm(t, datax=TRUE, main="QQ-plot des temp ratures")
16 qqline(t, datax=TRUE)
17 ##### Test de shapiro-Wilk #####
18 t=Morocco$Temp rature
19 shapiro.test(t)
20 ##### La regression lineaire #####
21 plot(Morocco$Ann e, Morocco$Temp rature, col="blue", xlab="Ann e", ylab="Temp rature"
  ,main="R gression lin aire")
22 t=Morocco$Temp rature
23 annee=Morocco$Ann e
24 Temp.lm<-lm(t~annee)
25 abline(Temp.lm, col="red")
26 summary(Temp.lm)
27 ICconf <- predict(Temp.lm, interval = "confidence", level = 0.95)
28 matlines(annee, ICconf, lty = c(1, 4, 4), col = c(2, 9, 9))
29 #intervale de prediction#
30 ICpred <- predict(Temp.lm, interval = "prediction", level = 0.95)
31 matlines(annee, ICpred, lty = c(1, 4, 4), col = c(2, 3, 3), ylab="interval")
32 ##### simulation de bruit gaussien fractionnaire#####
33 n=118
34 U=rnorm(n+1,0,1) # bruit blanc
35 plot(U, type = "l", col="black", ylim=c(-3.7,3.7), main = "Simulation de bruit gaussien
  fractionnaire en fonction de H")
36 U_bruit=vector("double", n)
37 H=vector("double", 4)
38 H[1]=0.6
39 H[2]=0.8
40 H[3]=0.9
41 H[4]=0.99
42 Couleur=c("green", "blue", "orange", "red")
43
44 for(k in seq(1,4)){
```

---

## 2.4. APPLICATION : EN UTILISANT LE BRUIT GAUSSIEN FACTIONNAIRE

---

```
45 h=H[k]
46 K_h=matrix(nrow=n+1,ncol=n+1)
47 x=seq(1,n+1)
48 for(i in seq(1,n+1)){
49   for (j in seq(1,n+1)){
50
51     K_h[x[i],x[j]]=(1/2)*(((abs(x[i]-x[j]+1))^(2*h))-2*((abs(x[i]-x[j]))^(2*h)))+((abs
      (x[i]-x[j]-1))^(2*h)))
52   }
53 }
54 L=t(chol(K_h))
55 U_bruit=L%*%U
56 lines(U_bruit, col=Couleur[k], type="l")
57 }
58 text(0,3.5,"H=0.5",col="black",cex = 0.6,pos = 4)
59 text(100,3.5,"H=0.6",col="green",cex = 0.6,pos = 4)
60 text(100,3.2,"H=0.8",col="blue",cex = 0.6,pos = 4)
61 text(100,2.9,"H=0.9",col="orange",cex = 0.6,pos = 4)
62 text(100,2.6,"H=0.99",col="red",cex = 0.6,pos = 4)
63 ##### R solution du Premier syst me #####
64 n=118
65 vecteur_h=vector("double",15)
66 vecteur_t=vector("double",15)
67 for (l in seq(4,20))
68 {
69   h=0.9+1/210
70   vecteur_h[l-3]=h
71 #Remplissage de la matrice K_h de taille (n+1)*(n+1)
72   K_h=matrix(nrow=n+1,ncol=n+1)
73   x=seq(1,n+1)
74   for(i in seq(1,n+1)){
75     for (j in seq(1,n+1)){
76
77       K_h[x[i],x[j]]=(1/2)*(((abs(x[i]-x[j]+1))^(2*h))-2*((abs(x[i]-x[j]))^(2*h)))+((
          abs(x[i]-x[j]-1))^(2*h)))
78     }
79   }
80 #R solution
81   M=matrix(nrow =n,ncol = n)
82   M=K_h[1:n,1:n]
83   alpha=solve(M,K_h[n+1,1:n])
84 #Evaluer
85 solution=sum(alpha*t)
86 cat("Pour h=",h,"\t","Temperature =",solution,"\n")
87 vecteur_t[l-3]=solution
88 }
89 ##### Diagramme des poids #####
90 Couleur=vector("character",n)
91 for(i in seq(1:n)){
92
93   if(alpha[i]>0){Couleur[i]="red"}
94   if(alpha[i]<0){Couleur[i]="blue"}
95   if(alpha[i]==0){Couleur[i]="blac"}
96   if(alpha[i]==max(alpha)){Couleur[i]="green"}
97   if(alpha[i]==min(alpha)){Couleur[i]="orange"}
98 }
99 plot(annee,alpha,type="h",main="Diagramme des poids pour H=0.99",xlab="X_i",ylab="
  w_i", col=Couleur)
100 ##### Graphe des temperatures par rapport a h #####
101 plot(vecteur_h,vecteur_t,type="l",col="red",xlab="h",ylab="Temp rature",main="
  Evolution de la temp rature par rapport la valeur de h")
102 ##### La somme des poids tend vers 1 quand h tend vers l ##
```



## 2.4. APPLICATION : EN UTILISANT LE BRUIT GAUSSIEN FACTIONNAIRE

---

```
103 n=118
104 sompoids=vector("double",40)
105 vecteur_h=vector("double",40)
106 for (l in seq(1,40))
107 {
108   h=0.7+l*0.29/40
109   vecteur_h[l]=h
110
111   #Remplissage de la matrice K_h de taille (n+1)*(n+1)
112   K_h=matrix(nrow=n+1,ncol=n+1)
113   x=seq(1,n+1)
114   for(i in seq(1,n+1)){
115     for (j in seq(1,n+1)){
116
117       K_h[x[i],x[j]]=(1/2)*(((abs(x[i]-x[j]+1))^(2*h))-2*((abs(x[i]-x[j]))^(2*h)))+(
118         abs(x[i]-x[j]-1))^(2*h)))
119     }
120   }
121   #R solution
122   M=matrix(nrow=n,ncol = n)
123   M=K_h[1:n,1:n]
124   alpha=solve(M,K_h[n+1,1:n])
125   sompoids[l]=sum(alpha)
126 }
127 plot(vecteur_h,sompoids,type="l",col="red",xlab = "H",ylab = "Sum(w)",main = "La
128   somme des poids en fonction de H")
129
130 ##### Conditionement de la matrice #####
131 n=118
132 vecteur_h=vector("double",17)
133 valeurpropre=vector("double",n)
134 c_h=vector("double",17)
135 for (l in seq(4,20))
136 {
137   h=0.9+l/210
138   vecteur_h[l-3]=h
139
140   #Remplissage de la matrice K_h de taille n*n
141   K_h=matrix(nrow=n,ncol=n)
142   x=seq(1,n)
143   for(i in seq(1,n)){
144     for (j in seq(1,n)){
145
146       K_h[x[i],x[j]]=(1/2)*(((abs(x[i]-x[j]+1))^(2*h))-2*((abs(x[i]-x[j]))^(2*h)))+(
147         abs(x[i]-x[j]-1))^(2*h)))
148     }
149   }
150   vect=eigen(K_h)
151   valeurpropre=vect$values
152   valeurpropre=-(sort(- valeurpropre)) #trier les valeur propres
153   c_h[l-3]=valeurpropre[1]/valeurpropre[n]
154 }
155 plot(vecteur_h,c_h,type="l",col="red",xlab = "h",ylab = "C(h)",main = "Graphe de C(h)
156   ")
157 ##### Probleme avec contrainte #####
158 # Graphe de ||u|| en fonction de H pour montrer que si H proche de 1 ||u|| et proche
159   de 1 #
159 norme_u=vector("double",20)
```

## 2.4. APPLICATION : EN UTILISANT LE BRUIT GAUSSIEN FRACTIONNAIRE

---

```
160 vecteur_H=vector("double",20)
161 Vecteur_u=vector("double", length = n+1)
162 for(k in seq(1:20)){
163 h=0.6+k*(0.33/20)
164 vecteur_H[k]=h
165 n=118
166 K_h=matrix(nrow=n+1,ncol=n+1)
167 x=seq(1,n+1)
168 for(i in seq(1,n+1)){
169   for (j in seq(1,n+1)){
170
171     K_h[x[i],x[j]]=(1/2)*(((abs(x[i]-x[j]+1))^(2*h))-2*((abs(x[i]-x[j]))^(2*h)))+((abs
172       (x[i]-x[j]-1))^(2*h)))
173   }
174 }
175 #la matrice k_h2 contient les carrés de chaque composante de K_h
176 K_h2=matrix(nrow=n+1,ncol=n+1)
177 for(i in seq(1,n+1)){
178   for (j in seq(1,n+1)){
179     K_h2[i,j] =(K_h[i,j])^2
180   }
181 }
182
183 # on stocke les valeurs de la suite u
184 for(j in seq(1,n+1)){
185   Vecteur_u[j]=colSums(K_h)[j]/((sqrt(n+1))*(sqrt(colSums(K_h2)[j])))
186 }
187 #calcul norme infini de la suite
188 s=max(abs(Vecteur_u))
189 norme_u[k]=s
190 }
191 plot(vecteur_H,norme_u,xlab = "H",ylab="||u||",main = "Norme infinie de la suite u en
192   fonction de H",type = 'l',col="blue")
193 # Partie prevision #
194 Vecteur_u=vector("double", length = n+1)
195 Vecteur_H=vector("double",10)
196 Vecteur_Temperature=vector("double",10)
197 n=118
198 for(k in seq(1:10)){
199   h=0.999999+k*(0.0000009/10)
200   Vecteur_H[k]=h
201 # Remplissage de la matrice K_h du syst me
202 K_h=matrix(nrow=n+1,ncol=n+1)
203 x=seq(1,n+1)
204 for(i in seq(1,n+1)){
205   for (j in seq(1,n+1)){
206
207     K_h[x[i],x[j]]=(1/2)*(((abs(x[i]-x[j]+1))^(2*h))-2*((abs(x[i]-x[j]))^(2*h)))+((abs
208       (x[i]-x[j]-1))^(2*h)))
209   }
210 }
211 #la matrice k_h2 contient les carrés de chaque composante de K_h
212 K_h2=matrix(nrow=n+1,ncol=n+1)
213 for(i in seq(1,n+1)){
214   for (j in seq(1,n+1)){
215     K_h2[i,j] =(K_h[i,j])^2
216   }
217 }
218
```

## 2.4. APPLICATION : EN UTILISANT LE BRUIT GAUSSIEN FRACTIONNAIRE

---

```
219 #on stocke les valeurs de la suite u
220 for(j in seq(1,n+1)){
221   Vecteur_u[j]=colSums(K_h)[j]/((sqrt(n+1))*(sqrt(colSums(K_h2)[j])))
222 }
223 #on ordonne la suite u dans le sens d croissant
224 Vecteur_u_tri = vector("double", length = n+1)
225 Vecteur_u_tri= -(sort(- Vecteur_u))
226 #apres le tri , on prend uniquement les n premieres valeurs de la suite
227 Vecteur_u_tri_n= vector("double", length = n)
228 Vecteur_u_tri_n= Vecteur_u_tri[1:n]
229
230 #r cup rer les n indices (l) qui correspondent a la position des Vecteur_u_tri dans
    le tableau initial Vecteur_u
231
232 #on commence d ja par prendre les n premieres composantes uniquement
233
234 Vecteur_u_n= vector("double", length = n)
235 Vecteur_u_n= Vecteur_u[1:n]
236
237 #r cup ration des indices (l)
238 Vecteur_u_indice=order(- Vecteur_u_n)
239 # r soudre le syst me .. on le reecrit sous forme Ax=b
240
241 # on crit la matrice du systeme par blocs 1:n x 1:n, (n+1):2n x n, 1:n x (n+1):2n,
    (n+1):2n x (n+1):2n
242 Matrice_syst=matrix(nrow = 2*n, ncol=2*n)
243
244 # bloc 1:n x 1:n
245 for (i in seq(1,n) ) {
246   for (j in seq(1,n)) {
247     Matrice_syst[i,j]=1
248   }
249 }
250 #bloc (n+1):2n x n
251 for (i in seq(n+1,2*n) ) {
252   for (j in seq(1,n)) {
253     Matrice_syst[i,j]=K_h[Vecteur_u_indice[j], i-n]
254   }
255 }
256 #bloc 1:n x (n+1):2n
257 for (i in seq(1,n) ) {
258   for (j in seq(n+1,2*n)) {
259     Matrice_syst[i,j]=K_h[Vecteur_u_indice[j-n], i]
260   }
261 }
262 #bloc (n+1):2n x (n+1):2n
263 for (i in seq(n+1,2*n) ) {
264   for (j in seq(n+1,2*n)) {
265     Matrice_syst[i,j]= 0
266   }
267 }
268 # le second membre b
269 Vecteur_b=vector("double",2*n)
270 Vecteur_b[1:n]=rep(1, n)
271 for (i in seq(n+1,2*n)) {
272   Vecteur_b[i]=K_h[n+1, Vecteur_u_indice[i-n]]
273 }
274
275 # solution du syst me , qui est un vecteur de dim 2n
276 Solution=solve(Matrice_syst, Vecteur_b)
277 #les premiers n composantes de la Solution correspondent a W
278 Solution_w = vector("double",n)
```

## 2.4. APPLICATION : EN UTILISANT LE BRUIT GAUSSIEN FACTIONNAIRE

---

```
279 Solution_w=Solution[1:n]
280
281 #les dernies n composantes de la Solution correspondent a lambda
282 Solution_lambda = vector("double",n)
283 Solution_lambda=Solution[(1+n):(2*n)]
284
285 #calculer la prevision de la temperature T_(n+1)
286
287 Temperature=sum(Solution_w*t)
288 Vecteur_Temp_rature[k]=Temperature
289 cat("Pour H=",h,"\t","Temperature =",Temperature,"\n")
290 }
291
292 plot(Vecteur_H,Vecteur_Temp_rature ,type = "l",xlab = "H",ylab = "Temp_rature",main
      = "Evolution de la temp_rature en fonction de H",col="red")
293
294 ##### Diagramme des poids (systeme avec contraintes) #####
295 Couleur=vector( "character",n)
296 for(i in seq(1:n)){
297
298     if( Solution_w[i]>0){Couleur[i]="red"}
299     if( Solution_w[i]<0){Couleur[i]="blue"}
300     if( Solution_w[i]==0){Couleur[i]="blac"}
301     if( Solution_w[i]==max(Solution_w)){Couleur[i]="green"}
302     if( Solution_w[i]==min(Solution_w)){Couleur[i]="orange"}
303 }
304 plot(annee,Solution_w,type="h",main="Diagramme des poids pour H=0.9999999",xlab ="X_i
      ",ylab = "w_i", col=Couleur)
305 #####
```